

Lu₂O₃ 치환에 따른 Pb(Sb,Mn)O₃ - Pb(Zr,Ti)O₃ 세라믹스의 압전 특성

Piezoelectric properties of Pb(Sb,Mn)O₃ - Pb(Zr,Ti)O₃ Ceramics doped Lu₂O₃

이동균*	한국과학기술연구원 박막기술연구센터
윤석진	한국과학기술연구원 박막기술연구센터
Sergey Kucheiko	한국과학기술연구원 박막기술연구센터
김현재	한국과학기술연구원 박막기술연구센터
한득영	건국대학교 전기공학과

Dong-Kyun Lee	Thin Film Technology Research Center, KIST
Seok-Jin Yoon	Thin Film Technology Research Center, KIST
Sergey Kucheiko	Thin Film Technology Research Center, KIST
Hyun-Jai Kim	Thin Film Technology Research Center, KIST
Deuk-Young Han	Dept. of Electrical Eng., Konkuk University

Abstract

Dielectric and piezoelectric properties of Pb[Zr_{0.45}Ti_{0.5-x}Lu_x(Mn_{1/3}Sb_{2/3})_{0.05}]O₃ (0 ≤ x ≤ 0.03) were investigated. The partial substitution of Ti⁴⁺ by a Lu³⁺ permitted improvement of the piezoelectric constant(d₃₃), electromechanical coupling factor (k_p) and dielectric constant(ε₃₃^T).

The dielectric loss(tan δ) increased and mechanical quality factor(Q_m) decreased with an increase of x were observed. A new piezoelectric material for actuator application was developed at x=0.02 with d₃₃=370 × 10⁻¹²C/N, k_p=58.5%, ε₃₃^T=1321, Q_m=714 and tan δ =0.98%.

1. 서론

Pb(Ti,Zr)O₃ 고용체의 압전특성은 적절한 조성비를 통해 향상될 수 있다는 것은 일반적으로 알려진 사실이다¹⁾. 실제 application에 요구되는 조건에 도달하기 위해 불순물의 첨가나 복합 perovskite 화합물로 구성된 3성분 고용체의 결합등과 같은 연구가 이루어지고 있다²⁻⁵⁾. A자리에 빈격자를 유발하는 "donor"첨가물(La³⁺, Nb⁵⁺, Sb⁵⁺)은 물체가 높은 ε₃₃^T, k_p과 낮은 Q_m을 갖도록 하며 O자리에 빈격자를 유발하는 "acceptor"첨가물은 "donor"첨가물(Fe³⁺, Cr³⁺)과 반대의 결과를 갖는다.

본 연구의 목적은 Ti⁴⁺ 자리에 Lu³⁺를 치환시켰을 때

Pb[Zr_{0.45}Ti_{0.5-x}Lu_x(Mn_{1/3}Sb_{2/3})_{0.05}]O₃ (0 ≤ x ≤ 0.03) 세라믹의 압전특성에 미치는 영향을 관찰하려는 것이다.

Lu³⁺를 선택한 이유는 희귀 원소중 가장 작은 이온반경을 가졌으며 이로인해 perovskite구조의 B자리를 대체하기에 적당하기 때문이다.

2. 실험방법

실험에 사용된 시료는 PbO(99.9%, High Purity Chemicals Co., Ltd.), ZrO₂, TiO₂, Lu₂O₃(all 99.9%, Aldrich Chemical Co., Inc.), Sb₂O₅(99.995%, Aldrich Chemical Co., Inc.), MnO₂(99.99%, Kojundo Chemical Laboratory Co., Ltd.) 등이다.

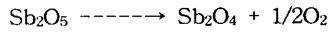
Table I. $\text{Pb}[\text{Zr}_{0.45}\text{Ti}_{0.5-x}\text{Lu}_x(\text{Mn}_{1/3}\text{Sb}_{2/3})_{0.05}]\text{O}_3$ 세라믹스의 격자상수

NO	x	a ($\times 10^{-1}\text{nm}$)	c ($\times 10^{-1}\text{nm}$)	c/a	Vol. Per unit cell ($\times 10^{-3}\text{nm}^3$)	X-ray density (g/cm^3)
1	0	4.0211	4.1183	1.0242	66.59	8.108
2	0.01	4.0256	4.1206	1.0236	66.78	8.116
3	0.02	4.0325	4.1197	1.0216	66.99	8.123
4	0.03	4.0375	4.0777	1.0100	66.47	8.218
5*	0	4.0205	4.1198	1.0247	66.59	
6*	0.01	4.0248	4.1212	1.0239	66.76	
7*	0.02	4.0287	4.1218	1.0231	66.90	
8*	0.03	4.0326	4.1053	1.0180	66.76	

* After poling under 3.5kV/mm for 30min.

$\text{Pb}[\text{Zr}_{0.45}\text{Ti}_{0.5-x}\text{Lu}_x(\text{Mn}_{1/3}\text{Sb}_{2/3})_{0.05}]\text{O}_3$ 조성에서 Lu_2O_3 의 양이 각각 0, 0.01, 0.02, 0.03mol이 되도록 평량한 후 증류수와 Zirconia ball 등과 함께 ball milling 방법으로 24시간동안 혼합하였다. 혼합된 시료는 120°C에서 건조한후 850°C에서 1시간 하소시켰다.

Sb_2O_5 는 하소과정에서 다음과 같은 반응이 일어난다.⁶⁾



결합제로 PVA (Polyvinyl alcohol)를 5-10wt% 사용하여 하소를 시킨 시료와 혼합한 후 $\phi 18\text{mm}$ 의 금속 mould를 사용하여 $700\text{kg}/\text{cm}^2$ 의 압력으로 성형하였다. 성형된 시편은 PVA를 연소시키기 위해 600°C에서 1시간 유지시켜 결합제를 연소시켰으며 PbO 의 휘발을 억제하기 위해 분위기 분말을 사용하여 1200°C에서 1시간 소성시켰다. 소성된 시편을 1mm의 두께로 연마한 다음 초음파 세척하여 건조한 후 silver paste(Dupont #7095)로 전극을 도포하여 600°C에서 10분간 열처리시켰다. domain의 방향성을 부여하기 위해 120°C의 실리콘 오일에서 35kV/cm의 직류전류를 30분 동안 가하였다. Bulk 밀도는 증류수에서 Archimedes 원리를 이용하여 측정하였고 결정구조의 형태는 $\text{Cu K}\alpha$ radiation을 사용하여 10-90°의 범위에서 조사하였다. 측정은 분극후 24시간 경과후 실시하였으며 정전용량과 유전손실 측정을 위해 Impedance analyzer(HP 4192A)를 사용하였고 공진과 반공진 주파수 측정을 위해 network analyzer(HP 3577A)을 사용하였다.⁷⁾ 또한 압전상수 d_{33} 측정을 위해서 d_{33} 미터(Channel Products Inc. CPDP3300)가 이용되었다.

3. 결과 및 고찰

$\text{Pb}[\text{Zr}_{0.45}\text{Ti}_{0.5-x}\text{Lu}_x(\text{Mn}_{1/3}\text{Sb}_{2/3})_{0.05}]\text{O}_3$ ($0 \leq x \leq 0.03$) 세라믹스의 X-ray 형태는 Fig. 1과 같다. 이 X-ray 형태를 통해 모든 샘플은 perovskite 구조를 가지며 어떤 2차상도 나타나지 않는 것을 알 수 있다. 또한 $x=0.03$ 에서 입방정체에 가까운 대칭구조를 가지는데 이는 tetragonal과 pseudocubic이 공존하는 상태이다.

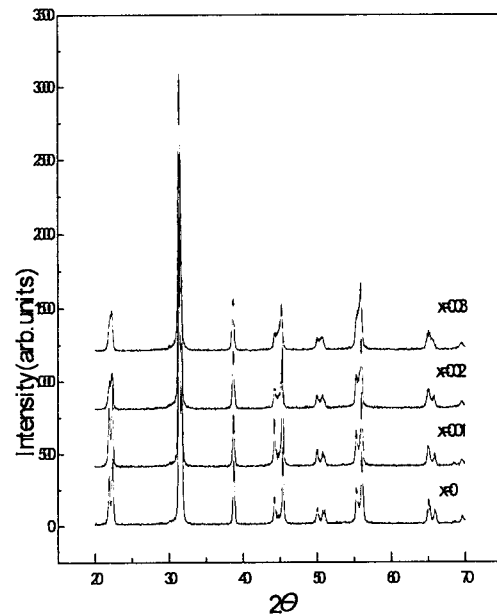


Fig 1. XRD patterns of $\text{Pb}[\text{Zr}_{0.45}\text{Ti}_{0.5-x}\text{Lu}_x(\text{Mn}_{1/3}\text{Sb}_{2/3})_{0.05}]\text{O}_3$ ceramics

Table II. $\text{Pb}[\text{Zr}_{0.45}\text{Ti}_{0.5-x}\text{Lu}_x(\text{Mn}_{1/3}\text{Sb}_{2/3})_{0.05}]\text{O}_3$ 세라믹스의 압전특성

x	d(g/cm ³)	tan δ (%)	ϵ_{33}^T	k _p (%)	Qm	d ₃₃ (x10 ⁻¹² C/N)
0	7.84	0.51	1058	47.9	2383	245
0.01	7.78	0.53	1244	50.0	1602	292
0.02	7.83	0.98	1321	58.5	714	370
0.03	7.84	1.29	943	54.0	680	288

Table I 에서는 실험에 사용된 시편의 결정학적 자료를 나타내고 있다. 여기서 Lu^{3+} 의 양을 증가할수록 격자상수 a가 증가하는데 이는 Ti^{4+} (0.605Å)에 비해 Lu^{3+} (0.861Å)의 이온반경이 더 크기 때문이다.⁸⁾ 또한 x의 값이 증가함에 따라 정방성(c/a 비율)이 감소하는데 x=0.03 근방에서 1에 가까운 값을 나타낼 수 있다.(Fig 2)

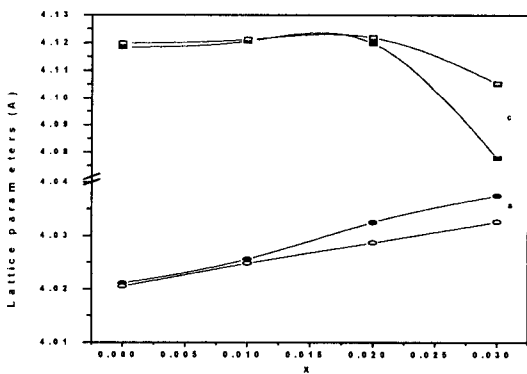


Fig 2. Variation of the unit cell dimensions as a function of x in poled(open mark) and unpoled(filled mark) ceramics

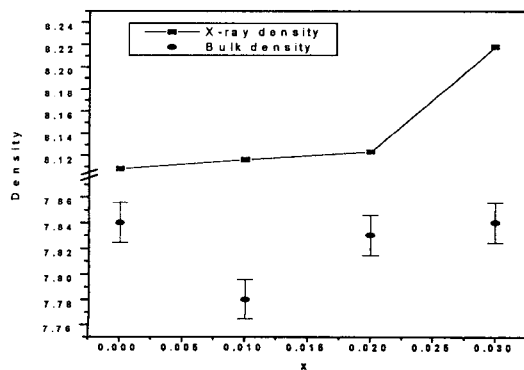


Fig 3. X-ray and bulk density as a function of x

계산을 통해 구해진 X-ray 밀도는 세라믹 시편의 소성이 잘 이루어졌음을 나타낸다.(Fig 3) 또한 소성 후의 Bulk 밀도는 이론치의 95.4-96.7%범위를 나타내고 있다.

Table II와 Fig 4.은 이번 실험에서 사용된 세라믹의 압전특성을 나타낸다. 전기-기계 결합계수(k_p)는 x=0.02일 때 최고치인 58.5%이며 Lu^{3+} 의 양이 더 증가하면 감소한다. 또한 k_p가 최고치를 나타내는 x=0.02일 때 유전상수(ϵ_{33}^T)와 압전상수(d₃₃)도 최고치를 보이고 있다.

압전상수는 상전이 부근에서 최고치를 나타내는데 이 실험에서는 x=0.02일 때 $370 \times 10^{-12}\text{C/N}$ 의 값을 나타낸다. 또한 정방정 위상에서는 Lu의 농도 증가에 따라 d₃₃가 현저히 증가하고 이와 유사한 현상이 $0 \leq x \leq 0.02$ 범위의 ϵ_{33}^T 에서도 나타나는데 그 최고치는 1321이다. k_p, ϵ_{33}^T , d₃₃가 최고치를 나타내는 지점은 기계적 품질계수 Qm, 유전손실 tan δ가 이상적인 값을 나타내는 지점과 일치하지 않는다.

기계적 품질계수 Qm은 x의 증가에 따라 급격히 감소하다가 위상전이 지역(x=0.03)에서는 약간의 변화만 있다. 반면에 유전손실 tan δ은 0.51-1.29%로 점차적인 증가를 나타낸다. Qm, tan δ 값을 고려할 때 x=0.02일 때 Actuator 응용시 가장 바람직하다고 사료된다.

공진주파수의 온도계수는 $0 \leq x \leq 0.02$ 의 범위에서 양의 값을 나타내는 반면에 상전이 위치에서는 그림에서 보여지듯이 음의 값을 갖는다. 그 중 x=0일 때 온도에 대한 공진주파수의 변화가 가장 작다. (Fig 5) 본 실험에서 Lu^{3+} 는 "acceptor" 불순물로 간주하지 않는다. 그 이유는 acceptor로서의 Lu^{3+} 는 O자리에 빈격자를 유발하는데 이는 Perovskite구조의 B자리 상에서 Sb^{4+} 가 Sb^{5+} 로 산화하면서 O자리의 빈격자를 채우기 때문이다.

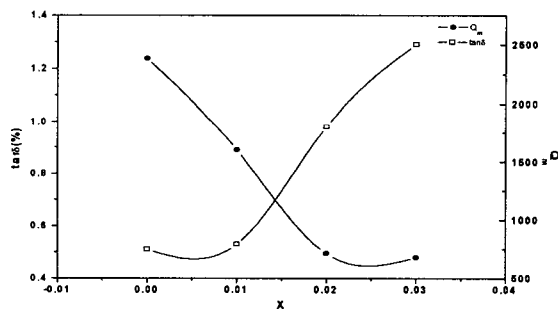
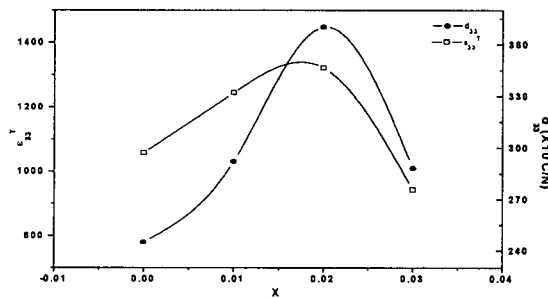
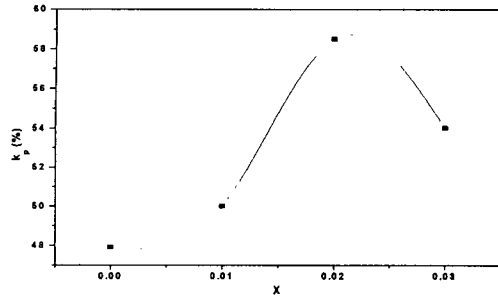


Fig 4. Piezoelectric properties of $\text{Pb}[\text{Zr}_{0.45}\text{Ti}_{0.5-x}\text{Lu}_x(\text{Mn}_{1/3}\text{Sb}_{2/3})_{0.05}]\text{O}_3$ ceramics

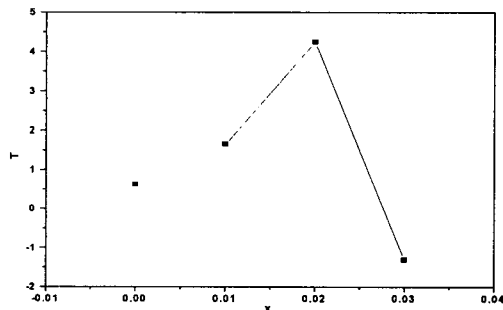


Fig 5. The temperature coefficient of resonant frequency as a function of x

4. 결론

$\text{Pb}[\text{Zr}_{0.45}\text{Ti}_{0.5-x}\text{Lu}_x(\text{Mn}_{1/3}\text{Sb}_{2/3})_{0.05}]\text{O}_3$ 세라믹스는 perovskite 구조를 가지며 Ti^{4+} 에 비해 Lu^{3+} 의 이온반경이 크므로 x의 증가에 따라 입방정체로의 상변이가 이루어 졌다. 또한 x=0.02일 때 Actuator에 적합한 압전특성이 나타나는 것을 알 수 있다.

REFERENCE

1. B. Jaffe, W. R. Cook and H. Jaffe, *Piezoelectric Ceramics*, pp 140-160, Academic Press, London, U.K.(1971)
2. F. Kulskar, "Electromechanical Properties of Lead Titanate Zirconate Ceramics Modified with certain Three or Five Valent Additions", *J. Am. Ceram. Soc.*, **42**, 343-49 (1959)
3. H. Duchi, M. Nishida and S. Hayakana, "Piezoelectric Properties of $\text{Pb}(\text{Mg}_{1/3}\text{Nb}_{2/3})\text{O}_3$ - PbTiO_3 - PbZrO_3 Ceramics Modified with Certain Additives", *J. Am. Ceram. Soc.*, **49**[11] (1966)
4. S. J. Yoon, A. Joshi and K. Uchino, "Effect of additives on the Electromechanical Properties of $\text{Pb}(\text{Zr},\text{Ti})\text{O}_3$ - $\text{Pb}(\text{Y}_{2/3}\text{W}_{1/3})\text{O}_3$ Ceramics", *J. Am. Ceram. Soc.*, **80**[4] 1035-39 (1997)
5. L. Wu, C. K. Liang, C. F. Shieu, "Piezoelectric Properties of $(\text{Pb}, \text{Sr})(\text{Zr}, \text{Ti}, \text{Mn}, \text{Zr}, \text{Nb})\text{O}_3$ piezoelectric ceramic", *J. Mater. Sci.*, **26**, 4439-44 (1991)
6. A. Simon and E. Thaler, *Z. anorg. allg. chem.*, **162**, 260 (1927)
7. IEEE standard on Piezoelectricity, IEEE Su-31, vol.2, American National Standard, New York (1982)
8. R. D. Shannon, "Revised Effective Ionic Radii and Systematic Studies of Interatomic Distances in Halides and Chalcogenides", *Acta Crystallog.*, **A32**, 751-67 (1976)